

IV. 結 言

本実験によつて得られた結論について

- (1) 他の製鉄法に比して少額の建設費である。
- (2) 廃ガスを有利に利用できる。
- (3) 粘結炭あるいはコクースを必要としない。
- (4) 電力、電極なども必要としない。
- (5) 鉱石はペレットなどにすることによつて粉鉱石も使用することができる。
- (6) 設備が簡単であるためと、各部の温度が低温度であるため、操業が簡単でありしたがつて特殊技術を必要としない。
- (7) いかなる規模にも適する。
- (8) 安価に良質の海綿鉄が得られる。

(30) CO, H₂ および C₃H₈ Cracking Gas による酸化鉄粉の還元

(低温ガス還元法による粉鉄の製造—I)

大阪府立大学工学部

工博 河合正雄・○木村 弘・寺峰禎次

Reduction of Fine Iron Oxide by CO, H₂ and C₃H₈ Cracking Gas.

(On the manufacture of iron powder from iron oxide by gas reduction at low temperature—I)

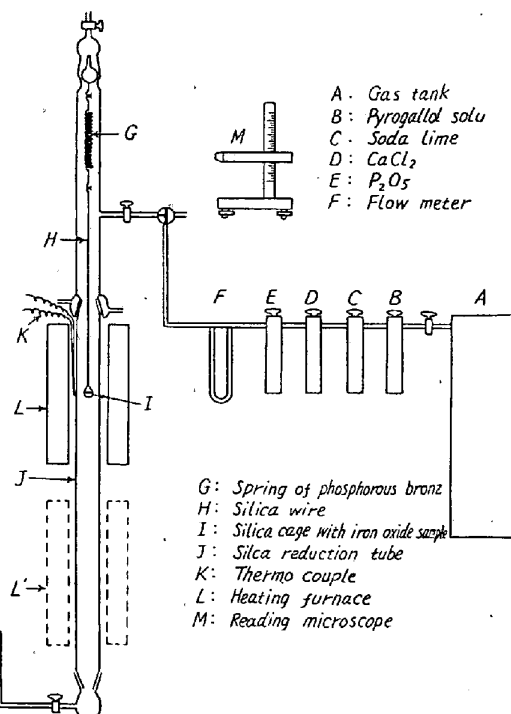
Dr. Masao Kawai, Hiroshi Kimura
and Teiji Teramine.

I. 緒 言

近時、粉末冶金用粉鉄需要の増大、良質コクースの不足、スクラップの枯竭とその品質の低下、その反面、鋼の品質に対する要求がますます高度化されてくるなどの諸事情から、直接製鋼法が各国で盛んに研究されている。その方法も数十種類報告されている。また、その中の三、四のものはすでに工業化されているが、なお特殊条件の下にあるものに限られている。鉱石を用い低温還元した場合は、酸化鉄のみが還元されることからヴァージニティの高い鉄が得られる。また、工場で多量に発生するスケールを使うと、比較的に純度の高い鉄粉が得られるので、筆者らは還元ガスによる低温還元により粉鉄を製造する工業的方法を確立すべく、その基礎実験を去年來行なつてきた。

II. 実験装置および方法

還元率は Fig. 1 に示すような熱天秤を用いて測定した。



註: Spring of phosphorous bronze は Spring of phosphor bronze の誤り

Fig. 1. Diagram of CO reduction unit.

まず精秤せる試料を石英製の籠（I）の中に柔かく置き、これを磷青銅のスプリング（G）より石英棒（H）を通じ石英反応管（J）中に装入する。しかる後、還元ガスの入つた貯蔵瓶（A）より清浄装置をとおして反応管中に導き、反応管内の空気を還元ガスで置換した後に図のごとく反応管の下部でニクロム抵抗炉（L'）を所定温度より約 30~50°C 高目に加熱し、つぎに炉を引き上げ試料を急速に熱して 5 分間以内に所定温度になるよう操作した。また温度調節は ±2°C の範囲内にあるようにした。送入ガス量はコックにより行ない、試料の減量は読取顕微鏡（M）により 5 分間ごとに記録した。

本実験に供した試料は市販の純酸化第二鉄で、これを粒度 50~100 メッシュと 100~150 メッシュのものとに篩い分け、110~120°C に 3 時間加熱乾燥したのちデシケーター中に保存した。

CO ガスは濃硫酸に蟻酸を滴下して造り、H₂ ガスはキップ装置で (1:1) の HCl に Zn を加えて造つたものを清浄した。また C₃H₈ cracking gas は Ni 触媒を充填した変成炉を 950°C に加熱し、これに (C₃H₈: 空気 = 1 : 7.5) の割合で送り込み C₃H₈ を分解した。還元率の計算は次式によつた。

$$\text{還元率} (\%) = (\text{還元による酸素減量})$$

$$/ \text{還元前の全酸素量} \times 100$$

$$= (\text{spring 収縮量} / \text{spring の感度}) \times 100 \\ / (\text{試料中の還元前の全酸素量})$$

III. 実験結果および考察

(a) 温度の影響

一般に還元性ガスによる酸化鉄粉の還元は、粒度、分布状態、温度、流量および圧力などの諸条件により異なるが、この実験では粒度(100~150 mesh), 流量(70cc/mn), 圧力および酸化鉄試料の入れ方をできるだけ一定にたまち、還元温度の変化による還元率と時間との関係を求めた結果がFig. 2である。

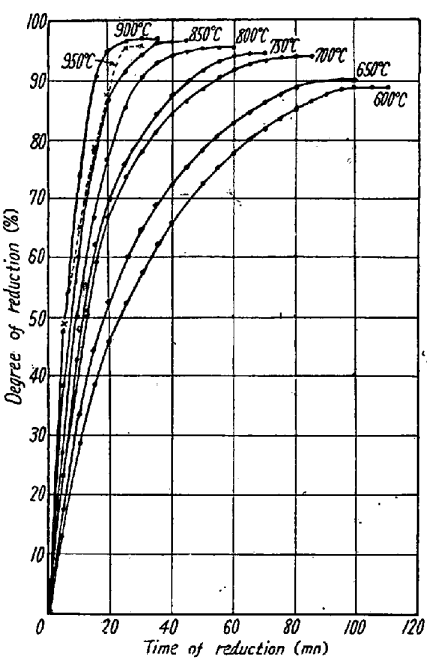


Fig. 2. Effect of temperature on reduction of Fe_2O_3 with CO gas.

このさいに注意すべきは滲炭による試料の重量増加である。本実験では試料の重量減が認められなくなつてから15分間実験を続けることにし、高温で滲炭反応が行なわれて試料の下降が認められたときは実験を中止して正確と推定される還元率が求められるまで実験を繰返した。

Fig. 2によると、還元温度の高くなるにつれて還元速度は早くなり、いずれの温度のものも初期還元速度は早いが見掛け平衡になると非常に遅くなる。900°Cまでのものの最終還元率(見掛け平衡における還元率)は温度の高いものほど高い値を示すが、950°Cのものは滲炭反応のためか900°Cおよび850°Cのものより低い最終還元率を示した。また650°C~700°C間で還元速度および最終還元率の飛躍的な増大が認められる。

H_2 ガスおよび C_3H_8 -cracking gas による還元のさいの温度の影響(省略)

(b) 流量の影響

粒度(100~150 mesh), 温度(800°C), ガス圧および分布状態をできるだけ一定にたまながら、ガス流量を35cc/mn, 70cc/mn, 150cc/mn, 300cc/mn, 400cc/mnおよび500cc/mnに変化させたときの還元速度の変化をFig. 3に示す。

Fig. 3によると300cc/mn, 迄のものは流量の増加につれて、初期還元速度が早くなっている。また35cc/mn

500cc/mn以外のものの最終還元率は同一で、見掛け平衡に達するまでの時間は150cc/mn以上では同一であり約35mnである。

流量最大の500cc/mnのものは、300cc/mn, 400cc/mnのものに比べて初期還元速度および最終還元率がわずかに低下しているのがみられる。この理由と

して考えられることは、流速が大なるための試料の冷却効果のためか、あるいは鉄の滲炭による試料の重量増加による見掛け還元率の低下のいずれかで、本実験では前者の理由によるものと推定した。

35cc/mnのものは最終還元率が93.4%でほかのものより約2.5%低い。このことは(c)の実験においても同じ傾向が見られた。

H_2 還元における流量の影響(省略)

(c) 粒度の影響

還元温度を800°C一定として、COガス流量を35cc/mn, 70cc/mnおよび150cc/mnと変化し、その各流量について酸化鉄粉の粒度を50~100 meshのものと100~150 meshのものについて還元速度を調べた結果がFig. 4である。

Fig. 4によると流量35cc/mnおよび70cc/mnのいずれの場合も粒度大なるものは小なるものより還元速度が早い。しかし流量が150cc/mnになると、この程度の粒度差は還元速度に現われない。最終還元率については細粒で、ガス流量35cc/mnのもののみが異なり、ほかは同一還元率を示す。細粒のため試料がやや密に装入され、かつ流量小なるため、ガスの試料間に停滞する時間が長く、その部分のガス組成の CO/CO_2 の値がほかより低かつたことか、 $\text{Fe}_2\text{O}_3 \rightarrow \text{Fe}_3\text{O}_4 \rightarrow \text{Wüstite} \rightarrow \text{Fe}$ の還元過程でもつとも遅いと言われる最終段階が粒の表面にできた緻密な金属鉄のため見掛け上、止つたことか、

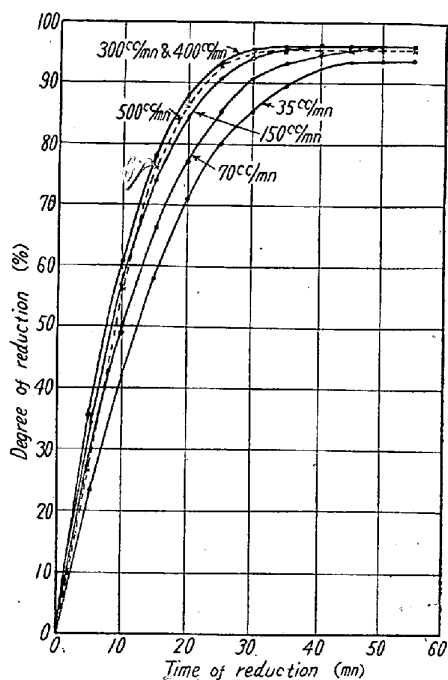


Fig. 3. Effect of gas velocity on rate of reduction of Fe_2O_3 by CO at 800°C.

そのほかの理由
か、明らかでない。

IV. 結 言

(1) H_2 ガスの還元速度、最終還元率はほかのガスに比べてよい。

(2) C_8H_8

Cracking gas は主として H_2 および CO の混合ガスよりなりしたがつてその還元的諸性質も H_2 と CO の中間にあり。そしてこのガスによ

る還元単価は比較的に安い。

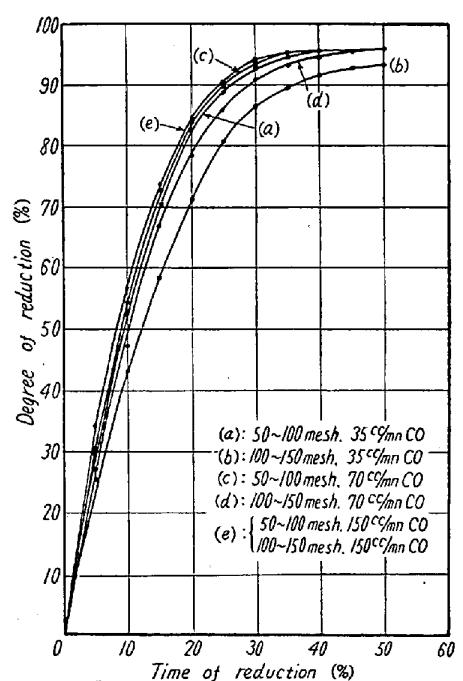


Fig. 4. Effect of grain size of Fe_2O_3 on rate of reduction by CO at 800°C.

II. 試料と実験方法

実験に用いた試料のうち Fe_2O_3 , SiO_2 , Al_2O_3 , MgO , CaO などは化学純の薬品を使い、コークスは若菜辺のものを用いた。またこれら原料は自記X線で調べたが、そのうちこの化学純の Fe_2O_3 は小量の褐鉄鉱が赤鉄鉱に混じているのが見られた。(Fig. 1)

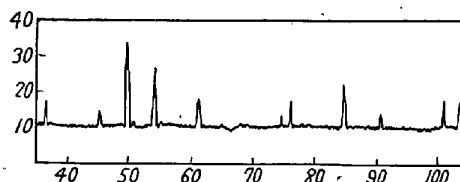


Fig. 1. X-ray diffraction lines of Fe_2O_3 powder Cr(V), 35KV-6mA, RT8×1.

熔解はクリプトル炉で行ない理研1号の黒鉛ルッポを用い、 $1250^\circ C$ で 40 分間製錬し、コークスは Fe_2O_3 に対し約 30% とした。そしてできた鉄あるいは粉鉄をスラグとともにボールミルで砕き、篩別と磁選を行ない、中間物である磁性酸化物とスラグを除いた。

III. 実験結果

Table 1 は実験で得た粉鉄および銑鉄の成分であつて塩基度 0.1 より 0.5 までのおおのの平均値であつて、成分的に見て塩基度によりかなりの差があるが、塩基度が上るにつれしだいに普通銑に近付くことが解る。

Table 1. Chemical analysis of luppe and pig iron.

CaO/SiO_2	C	Si	S	P	m.Fe	FeO	T. Fe
0.1	2.49	1.79	0.098	0.038	93.48	3.32	95.64
0.2	3.24	1.19	0.096	0.038	91.42	1.98	94.40
0.3	3.24	0.57	0.093	0.032	93.95	2.91	95.65
0.4	3.90	0.32	0.066	0.031	93.81	3.41	95.68
0.5	3.91	0.31	0.069	0.031	93.33	3.44	96.02

つぎにこの結果を塩基度と成分の方面から調べて見ると、炭素は塩基度が上るにつれて増し、塩基度 0.4 の所で普通銑の炭素量となり、またその組織も普通銑に近づく。珪素は逆に塩基度低いときには良く入り、高くなると低くなっている。硫黄は 0.4 までやや高いが 0.5 から低くなつてくる。磷も同じ傾向を示している。このような結果から見て塩基度によりかなり元素の相互作用による選択的還元性があることが知られる。

なお Mn についてはこのルッペは Mn 含有量が低いためか判定し得るような結果が得られなかつたので、別個に実験を行なつた。M.Fe は 91~93% で FeO は 1~3% 含んでいるが、T.Fe は 94~96% で高いことか